

(HUANJING KEXUE)

# ENVIRONMENTAL SCIENCE

第33卷 第11期

Vol.33 No.11

2012

中国科学院生态环境研究中心 主办



## 批和 HUANJING KEXUE)

### ENVIRONMENTAL SCIENCE

第 33 卷 第 11 期 2012年11月15日

#### 次 目

```
京津冀与长三角区域大气 NO, 污染特征 ...... 王英, 李令军, 刘阳(3685)
  一颗乙烯在不同工場中的吸附存住及其影响因素研究

一顿龙,邱兆富,吕树光,逯志昌,王治立,隋倩,林匡飞,刘勇弟(3976)

多菌灵在农田土壤中的降解及其影响因子研究

硫化物对垃圾掺烧污泥焚烧飞灰高温过程中重金属挥发的影响

关于医疗垃圾飞灰中二噁英在惰性气氛下的低温热脱附研究

一切,邱邦富,科术将(3990)

关于医疗垃圾飞灰中二噁英在惰性气氛下的低温热脱附研究
第七届环境模拟与污染控制学术研讨会论文
《环境科学》征订启事(3711) 《环境科学》征稿简则(3767) 信息(3998,4039,4045,4056) 专辑征稿通知(4051)
```

## 稻田气溶胶 NH, 和气体 NO, 排放在线测定研究

龚巍巍1,栾胜基1,2\*

(1. 北京大学深圳研究生院环境与能源学院,城市人居环境科学与技术重点实验室,深圳 518055; 2. 深港产学研基地环境模拟与污染控制重点实验室,深圳 518057)

摘要:气溶胶  $NH_3$  和气体  $NO_x$  是大气颗粒物和降水的主要成分,是形成气溶胶的关键物种. 田间集约化氮肥施用是气溶胶  $NH_3$  和气体  $NO_x$  的一个重要来源,目前该领域的研究鲜有报道. 2010 年 5 月~2010 年 10 月,在线监测了稻田施用尿素后气溶胶  $NH_3$  和气体  $NO_x$  的排放情况. 监测系统的时间分辨率设置为 1 h. 在 4 次稻田施肥试验中,施肥后对气溶胶  $NH_3$  排放和相应的气象因子连续采样 20 d. 在第 4 次施肥试验中,施肥后连续采样 47 d,进而研究气体  $NO_x$  的排放规律及其与气象因子的关系. 结果表明,气溶胶  $NH_3$  的排放因子分别为 2. 6%、5. 5%、4. 0% 和 1. 6%,相应的排放通量分别为 3. 97、2. 08、1. 52 和 1. 22 kg·hm<sup>-2</sup>. 温度(空气温度和土壤温度)是影响稻田施肥气溶胶  $NH_3$  排放的主要因子,而空气湿度和土壤水分对其排放的影响却不明确. 通过分析监测数据可知,稻田施肥后  $NO_2$ -N 排放量与 NO-N 排放量的比值为 9/4,气体  $NO_x$  的排放因子和排放通量分别为 0. 14% 和 0. 30 kg·hm<sup>-2</sup>. 气象因子与气体  $NO_x$  排放通量的关系也进行了初步探讨.

关键词:气溶胶 NH3;气体 NOx;稻田;排放通量;排放因子

中图分类号: X51; X831 文献标识码: A 文章编号: 0250-3301(2012)11-4006-06

### Hourly Measurement on Aerosol NH<sub>3</sub> and Gas NO<sub>x</sub> Emission in the Rice Field

GONG Wei-wei<sup>1</sup>, LUAN Sheng-ji<sup>1,2</sup>

(1. Key Laboratory for Urban Habitat Environmental Science and Technology, School of Environment and Energy, Peking University Shenzhen Graduate School, Shenzhen 518055, China; 2. PKU-HKUST Shenzhen-Hong Kong Institution Key Laboratory of Environmental Simulation and Pollution Control, Shenzhen 518057, China)

Abstract: Aerosol NH<sub>3</sub> and gas NO<sub>x</sub> are the major components in atmospheric particles and precipitation, which are key precursors to form aerosols. The intensive N fertilization in arable land is an important source of aerosol NH<sub>3</sub> and gas NO<sub>x</sub>, which have not been well characterized yet. During May to October in 2010, the characteristics of aerosol NH<sub>3</sub> and gas NO<sub>x</sub> emission from rice field after urea application were investigated. The time resolutions of measurements were set to be one hour. The aerosol NH<sub>3</sub> emission and metrological factors within 20 d of continuous sampling after fertilization in four experiments were monitored. The experiment on gas NO<sub>x</sub> emission and metrological factors influencing the emission were carried out from the beginning of the forth test, which lasted for 47 days. Results indicated that the aerosol NH<sub>3</sub> emission factors of four tests were 2.6%, 5.5%, 4.0% and 1.6%, respectively. The corresponding aerosol NH<sub>3</sub> emission flux of four tests were 3.97, 2.08, 1.52 and 1.22 kg·hm<sup>-2</sup>, respectively. Temperature (air temperature and soil temperature) was found to be the main factor influencing aerosol NH<sub>3</sub> emission in rice fields after fertilization, while the impacts of air humidity and soil moisture were not clear. After analyzing the monitoring data, it can be concluded that the ratio of the emission amount of NO<sub>2</sub>-N and NO-N in rice fields after fertilization was 9/4; the emission factor and the emission flux of gas NO<sub>x</sub> were 0.14% and 0.30 kg·hm<sup>-2</sup>, respectively. The relationship between metrological factors and gas NO<sub>x</sub> emission flux was also examined.

Key words: aerosol NH3; gas NOx; rice field; emission flux; emission factor

作为大气中痕量的天然成分,NH<sub>3</sub>和 NO<sub>x</sub>(主要包括 NO 和 NO<sub>2</sub>)在大气化学转化和大气气溶胶形成中起着重要作用<sup>[1~3]</sup>.其中,形成的颗粒物对能见度降低和区域灰霾形成有重要贡献,同时颗粒物特别是细颗粒物严重影响人体健康<sup>[4,5]</sup>.

氮肥施人土壤后,发生一系列物理和化学变化,一方面产生大量铵根离子,进而转化为 NH<sub>3</sub> 并排放出来<sup>[6,7]</sup>. NH<sub>3</sub> 是大气中最重要的碱性气体,很容易结合硝酸和硫酸等酸性物质,致使一部分气态 NH<sub>3</sub> 转变成气溶胶态 NH<sub>3</sub>. 另一方面在土壤微生物硝化

与反硝化的作用下,含氮化合物转化为  $NO_x$ (主要包括 NO 和  $NO_x$ )并释放到大气中 $[7^{-9}]$ . 中国氨排放总量约占全球的 20% 左右 $[10^{-12}]$ ,而集约化氮肥施用的农田是重要的来源之一[13,14]. 第二次全国农业普查资料[15]显示,截至 2006 年底,我国稻谷的播种面积约为  $2.89 \times 10^7$   $hm^2$ ,稻田施肥后  $NH_3$  排放研究

收稿日期: 2012-02-14; 修订日期: 2012-05-16

基金项目: 国家高技术研究发展计划(863)项目(2006AA06A309) 作者简介: 龚巍巍(1985~),男,博士研究生,主要研究方向为大气 环境,E-mail;weiwgong@163.com

<sup>\*</sup> 通讯联系人, E-mail: luansj@ szpku. edu. cn

有助于掌握其排放规律和估算  $NH_3$  排放总量. 研究表明,施氮田地  $NH_3$  排放受多种因素影响,甚至平行试验中变化也较大 $^{[16,17]}$ . 已有报道显示,种植业氮肥施用后气体  $NH_3$  的排放因子为 0.63% ~ 39.79%,平均为 $(10.6\pm7.5)\%^{[17,18]}$ . 在我国,所有的普通氮肥中尿素对  $NH_3$  排放的贡献率最大 $^{[18]}$ . Yienger 等 $^{[19]}$ 考虑降水、土温和湿度等因素,建立复杂模式估算中国和日本的 NO 年排放总量为  $3.1\times10^5$  t. 谢旻等 $^{[20]}$ 利用 Williams 的模型估计了 2000 年我国土壤  $NO_x$  排放总量为  $2.3\times10^5$  t,约占人为源的 7%,而这一比例在夏季将达到 23.4%. 卢昌艾等 $^{[21]}$ 通过对滇池流域集约化菜田气体 NO 与  $NO_2$  排放研究发现,气体  $NO/NO_2$  的排放因子和排放通量分别为 0.63% ~ 0.92% 和 1.07 ~ 10.19 kg·hm $^{-2}$ .

珠三角地区一直受高浓度气溶胶、频繁的灰霾 天气及酸雨困扰<sup>[22]</sup>,这主要是由大气复合污染造成的,一定程度上与 NH<sub>3</sub> 和 NO<sub>x</sub> 排放有很大关系. 近 30 年来,广东省水稻的播种面积平均占农作物总播 种面积的 52.4% [23]. 施用氮肥的稻田中,气溶胶 NH<sub>3</sub> 和气体 NO<sub>x</sub> 排放的研究并不多见,而对二者的 深入研究可以掌握其排放总量及规律,为后续珠三角地区大气污染的治理提供依据,也为我国集约化 农田气溶胶 NH<sub>3</sub> 和气体 NO<sub>x</sub> 排放的估算提供依据. 在本研究中,利用自主设计搭建的在线系统监测了 施肥后稻田中气溶胶 NH<sub>3</sub> 和气体 NO<sub>x</sub> 排放特性,时间分辨率为 1 h,气溶胶 NH<sub>3</sub> 和气体 NO<sub>x</sub> 的排放通量和气象条件之间的关系也被初步探索.

#### 1 材料与方法

#### 1.1 试验地点

试验地点(22°35′N,113°58′E)位于珠三角东部的深圳市大学城内,海拔高度 20 m. 2011 年,深圳市年降雨量为1 269.7 mm,较累年平均值(1 935.8 mm)偏少34.4%;年平均气温22.6℃;年平均相对湿度71%;年日照时数2 054.4 h;年平均风速为2.2 m·s<sup>-1[24]</sup>. 供试土壤为赤红壤,是珠三角地区典型的土壤类型,其理化性质如表 1 所示.

表 1 供试土壤理化性质

Table 1 Physico-chemical properties of the four tested soils

土壤类型	土壤深度/cm	pН	有机质/g·kg <sup>-1</sup>	全氮/g·kg <sup>-1</sup>	有效氮/mg·kg <sup>-1</sup>	全磷/g·kg <sup>-1</sup>	全钾/g·kg <sup>-1</sup>
赤红壤	0 ~ 30	6. 12	20. 8	1.0	2. 2	0.60	33. 20

#### 1.2 施肥试验

通过对珠三角农业地区的实地调研,掌握该地区的作物类型、轮作制度、耕作和水肥管理(主要包括施肥量、施肥时间和灌溉等)情况,并作为本研究试验中水肥管理的重要依据.水稻是珠三角地区种植面积最大的作物类型,由于气候条件,一年内生产早稻和晚稻各一季.本研究即选用早稻和晚稻为试验对象.而集约化的稻田中,尿素是最常用的化肥之一.故选用尿素(国产,含 N 量 ≥

46.3%, 粒度: 0.85~2.80 mm, 执行 GB 2440-2001 标准) 作为供试氮肥. 稻田所有维护、管理均交由稻农专门实施,稻农根据珠三角地区水稻种植习惯管理试验地.

对早稻和晚稻分别进行了 1 次基肥和 1 次追肥,共 4 次稻田施肥试验. 4 次施肥试验中,均对气溶胶  $NH_3$  连续采样 20 d,研究气溶胶  $NH_3$  排放情况. 对气体  $NO_x$  排放采样 47 d,进而探讨气体  $NO_x$  排放规律. 4 次施肥试验的基本情况如表 2 所示.

表 2 施肥处理试验基本情况

Table 2 Summary of the fertilizer treatments

试验序号	作物类型	施肥处理期	氮肥施用量(以N计)/kg·hm <sup>-2</sup>	水肥管理
1	早稻	基肥期(2010-05-16~2010-06-04)	162. 2	撒施,浇水
2	早稻	追肥期(2010-06-22~2010-07-11)	40. 9	撒施,浇水
3	晚稻	基肥期(2010-07-31~2010-08-19)	40. 9	撒施,浇水
4	晚稻	追肥期(2010-08-26~2010-09-14)	81. 8	撒施,浇水

已有研究表明 $^{[17,25-27]}$ ,种植业田地 NH<sub>3</sub> 排放主要发生在施肥后前 2~3 周内. 本研究即把施肥后连续 20 d内 NH<sub>3</sub> 累积排放量作为单次施肥试验的 NH<sub>3</sub> 总排放量.

#### 1.3 试验方法

稻田施用氮肥试验中气溶胶 NH<sub>3</sub> 的排放规律 由氨挥发在线测定系统测定<sup>[17]</sup>. NO-NO<sub>2</sub>-NO<sub>x</sub> 分析 仪(Model 42i, Thermo Electron Corporation) 和风洞系 统 $^{[28]}$ 连接起来用于测定稻田施用氮肥试验中气体 $NO_x$  的排放规律. 测定风洞系统出气口和进气口气体中物质浓度,二者之间的差值即可求得气体 $NO_x$ 的排放情况.

本试验采用 2 台微型自动气象站自动实时测量 土壤温度、土壤水分、空气湿度和风速等气象因 子,用于探究各气象因子对气溶胶 NH<sub>3</sub> 和气体 NO<sub>x</sub> 排放的影响.每个气象因子均有两组传感器平行测 定.2台微型自动气象站时间分辨率均被设置为 15 min<sup>[17]</sup>.

#### 2 结果与讨论

#### 2.1 排放通量和排放因子

4 次施肥试验中气溶胶 NH, 的排放通量和排放

因子的结果如表 3 所示. 4 次试验的气溶胶  $NH_3$  排放因子分别为 2. 6%、5. 5%、4. 0% 和 1. 6%. 4 次试验的气溶胶  $NH_3$  排放通量分别为 3. 97、2. 08、1. 52 和 1. 22  $kg \cdot hm^{-2}$ . 通过计算得出,稻田施肥试验排放出的  $NO_2 \cdot N$  量与  $NO \cdot N$  量的比值为 9/4. Stohl 等[29] 在模型估算土壤氦氧化物排放时,认为氮氧化物中  $NO \cdot N$  与  $NO_2 \cdot N$  的比例为 9/1. 两者的研究结果相差较大,可能的原因是本研究试验地区的大气氧化性较高,大气中所含的臭氧浓度较高,导致排放出的 NO 迅速氧化为  $NO_2$  所致. 气体  $NO_x$  的排放因子和排放通量分别为 0. 14% 和 0. 30  $kg \cdot hm^{-2}$ . Fang 等[30] 采用  $NO \cdot NO_2 \cdot NO_x$  分析仪监测得出大白菜和马铃薯地施氮后气体 NO 排放因子为 0. 6% ~ 3. 6%,与本研究结果一致.

表 3 4 次施肥试验中气溶胶 NH3 排放情况

Table 3 Aerosol NH <sub>3</sub> emission in the four te
---

		-		
试验序号	作物类型	氮肥施用量(以 N 计)/kg·hm <sup>-2</sup>	排放通量/kg·hm -2	排放因子/%
1	早稻	162. 2	3. 97	2. 6
2	早稻	40. 9	2. 08	5. 5
3	晚稻	40. 9	1. 52	4. 0
4	晚稻	81.8	1. 22	1.6

珠三角地区大气中酸性物质较多,利于捕捉气态 NH<sub>3</sub>,进而形成气溶胶 NH<sub>3</sub>.而目前关于稻田气溶胶 NH<sub>3</sub>排放几乎没有报道,对于区域大气联防联控而言,弄清稻田气溶胶 NH<sub>3</sub>排放规律十分必要,该领域的探讨需进一步深入.

#### 2.2 累积排放因子

4 次施肥处理试验的气溶胶 NH<sub>3</sub> 累积排放因子 (气溶胶 NH<sub>3</sub> 累积排放量与该次试验中气溶胶 NH<sub>3</sub> 排放总量的比值)与时间关系如图 1 所示. 可以明 显看出,稻田中气溶胶 NH<sub>3</sub> 排放主要发生在施肥后

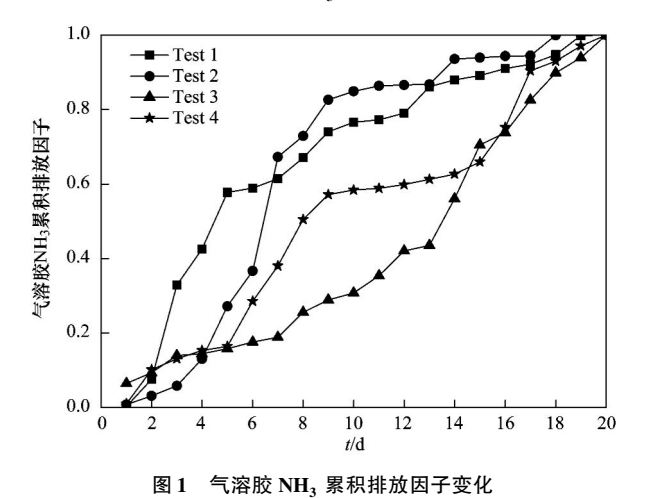


Fig. 1 Diagram of cumulative factors of aerosol NH<sub>3</sub> emission

两周内. 4 次稻田施肥试验中,施肥后前 20 天气溶胶  $NH_3$  累积排放分别占排放总量的 89.1%、93.9%、70.5% 和 65.9%,平均值为(79.9 ± 13.7)%. 最主要的原因是由于施肥初期,转化成的  $NH_4^+$ -N浓度较高, $NH_3$  相应的排放速率相应就高,随着时间变化,其排放速率相应的逐渐降低.

图 2 显示,气体  $NO_x$  和 NO 排放随时间没有明显的变化且受 $NH_4^+$ -N浓度影响较小,这一点与气溶胶  $NH_3$  排放规律不同. 郑循华等[31] 采用箱法自动观测了华东冬小麦的 NO 排放,结果表明温度是决

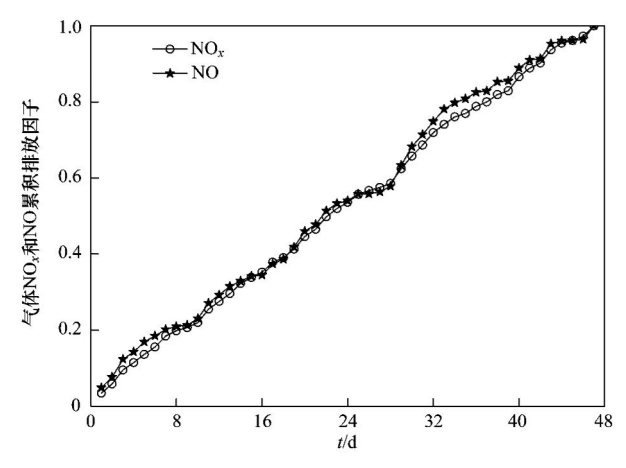


图 2 气体 NO<sub>x</sub> 和 NO 累积排放因子变化

Fig. 2 Diagram of cumulative factors of gas NO<sub>x</sub> and NO emission

定 NO 排放季节变化基本形式的首要因素,施氮肥不能改变 NO 排放的季节变化规律,与本研究结果基本一致. 另外如图 2 所示,气体 NO<sub>x</sub> 排放与气体 NO 排放有明显的相关性 (r = 0.937, P < 0.01, n = 1126).

#### 2.3 排放通量

4 次稻田施肥试验中气溶胶 NH<sub>3</sub> 排放通量和气体 NO<sub>x</sub> 及 NO 排放通量随时间变化的规律如图 3 和 4 所示. 从中可以看出,气溶胶 NH<sub>3</sub> 和气体 NO<sub>x</sub> 及 NO 的排放通量随时间变化都较大. 由图 3 可以得知,稻田施肥后气溶胶 NH<sub>3</sub> 的排放规律与蔬菜施肥试验中气体 NH<sub>3</sub> 的排放规律相似<sup>[17]</sup>. 气溶胶 NH<sub>3</sub> 排放通量最大值出现在施肥后的第一周内.

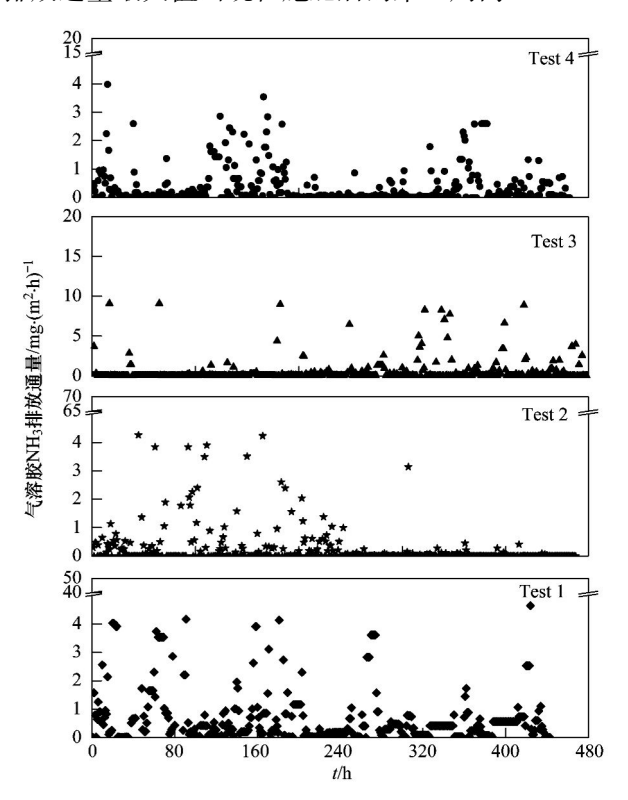


图 3 气溶胶 NH<sub>3</sub> 排放通量变化

Fig. 3 Aerosol  $NH_3$  emission flux

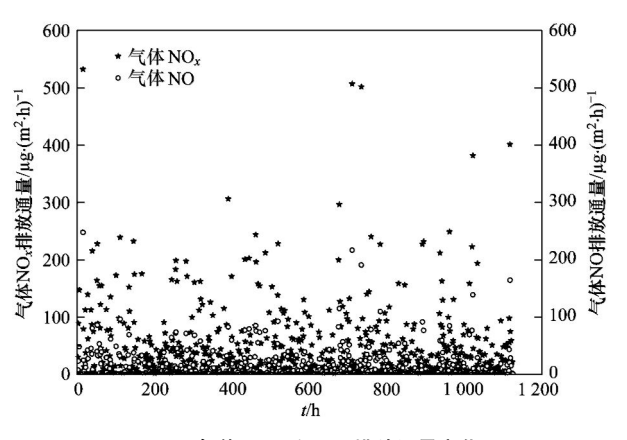


图 4 气体  $NO_x$  和 NO 排放通量变化

Fig. 4 Gas  $NO_x$  and NO emission flux

#### 2.4 气象因子影响

试验数据表明,气溶胶 NH<sub>3</sub> 排放因子与氮肥施用率呈负相关(r = -0.600),与已有的研究结果一致<sup>[26,32]</sup>. 而气溶胶 NH<sub>3</sub> 排放通量与氮肥施用率呈正相关(r = 0.827). 由 2 台微型自动气象站自动实时测量的土壤温度、土壤水分、空气湿度和风速等气象因子数据如表 4 所示. 气溶胶 NH<sub>3</sub> 排放通量与气象因子之间的相关系数见表 5. 数据显示,气溶胶 NH<sub>3</sub> 排放通量通常与空气温度和土壤温度呈正相关. 主要是因为较高的土壤温度和空气温度有利于 NH<sub>3</sub>-N 的形成,并加速其从土壤表面逸出,而使气溶胶 NH<sub>3</sub> 排放通量增大.

当尿素撒施到土壤中时气体  $NO_x$  和 NO 的排放及其影响因子即被监测. 气体  $NO_x$  和 NO 的排放通量与气象因子之间的相关系数如表 6 所示. 比较表 5 和表 6 中的数据发现,同一气象因子对气溶胶  $NH_3$  排放通量和气体  $NO_x$  排放通量的影响效果并不相同. 由于该领域的研究报告较少,需要做大量的工作进行深入研究.

#### 3 结论

从 2009 年 5 月 ~ 2010 年 10 月, 监测了稻田施

表 4 气象因子数据

Table 4 Metrological data during each test

试验序号	有效样本数/个	空气温度/℃	土壤温度/℃	空气湿度/%	土壤水分/%	风速/m·s <sup>-1</sup>
1	443	28. 0 ± 3. 3	24. 6 ± 2. 0	77. 7 ± 13. 7	28. 5 ± 4. 0	1. 4 ± 0. 11
2	468	31. $1 \pm 2.9$	$27.2 \pm 1.3$	77. $3 \pm 11.8$	19. $6 \pm 7.7$	$1.3 \pm 0.14$
3	480	30. $7 \pm 3.0$	$27.2 \pm 1.2$	77. $1 \pm 12.9$	32. $3 \pm 2.6$	$1.4 \pm 0.14$
4	462	29. $7 \pm 3.1$	$26.5 \pm 1.2$	80. $5 \pm 13.6$	32. $4 \pm 2.7$	$1.1 \pm 0.14$

用氮肥后气溶胶 NH<sub>3</sub> 和气体 NO<sub>x</sub> 排放机制和特性. 4 次稻田施肥试验气溶胶 NH<sub>3</sub> 的排放因子分别为

2.6%、5.5%、4.0% 和 1.6%,而对应的排放通量分别为 3.97、2.08、1.52 和 1.22 kg·hm $^{-2}$ . 在影响

#### 表 5 气象因子与气溶胶 NH、排放通量 Pearson 相关系数统计1)

Table 5	Statistics of Pearson's	coefficient between	meteorological f	factors and	aerosol NH2	emission flux

			-	
气象因子	第1次试验(n=443)	第2次试验(n=468)	第 3 次试验(n = 480)	第 4 次试验(n = 462)
空气平均温度	0. 154 **	- 0. 111 *	0. 110 *	0. 078
土壤平均温度	0. 115 *	- 0. 129 **	0.058	0. 029
空气平均湿度	- 0. 108 *	0. 106 *	-0.083	-0.075
土壤平均水分	0. 166 **	0. 108 *	-0.021	0. 049
平均风速	0. 191 **	-0.025	- 0. 159 **	-0.066

1) \* \*表示 P < 0.01; \*表示 P < 0.05

#### 表 6 气象因子与气体 NO<sub>r</sub> 及 NO 排放通量 Pearson 相关系数统计 $(n=1\ 126)^{1}$

Table 6 Statistics of Pearson's coefficient between meteorological factors and gas NO, NO emission flux (n = 1 126)

项目	空气平均温度	土壤平均温度	空气平均湿度	土壤平均水分	平均风速
气体 NO <sub>x</sub> 排放通量	-0. 102 **	-0.054	0. 123 **	-0.016	0. 014
气体 NO 排放通量	-0. 129 **	-0.070 *	0. 167 **	-0.003	0. 015

1) \* \*表示 P < 0.01; \*表示 P < 0.05

气溶胶 NH<sub>3</sub> 排放的所有因子中,温度(空气温度和土壤温度)是主要影响因子,而空气湿度和土壤水分的影响却不稳定. 气溶胶 NH<sub>3</sub> 的排放主要发生在施肥后的 2~3 周内. 氮肥施用率与气溶胶 NH<sub>3</sub> 的排放因子呈负相关,而与气溶胶 NH<sub>3</sub> 的排放通量呈正相关. 稻田施肥后排放的  $NO_2$ -N 量与 NO-N 量的比值为 9/4,而气体  $NO_x$  的排放因子和排放通量分别为 0.14% 和 0.30 kg·hm<sup>-2</sup>.

#### 参考文献:

- [1] Erisman J W, Schaap M. The need for ammonia abatement with respect to secondary PM reductions in Europe [J]. Environmental Pollution, 2004, 129(1): 159-163.
- [2] Zhang Y, Dore A J, Ma L, et al. Agricultural ammonia emissions inventory and spatial distribution in the North China Plain [J]. Environmental Pollution, 2010, 158(2): 490-501.
- [3] Wang S X, Xing J, Jang C, et al. Impact assessment of ammonia emissions on inorganic aerosols in east China using response surface modeling technique [J]. Environmental Science & Technology, 2011, 45(21): 9293-9300.
- [4] Kim J Y, Song C H, Ghim Y S, et al. An investigation on NH<sub>3</sub> emissions and particulate NH<sub>4</sub><sup>+</sup>-NO<sub>3</sub><sup>-</sup> formation in East Asia[J]. Atmospheric Environment, 2006, 40(12): 2139-2150.
- [5] Pinder R W, Adams P J, Pandis S N. Ammonia emission controls as a cost-effective strategy for reducing atmospheric particulate matter in the Eastern United States [J]. Environmental Science & Technology, 2007, 41 (2): 380-386.
- [6] Lin D X, Fan X H, Hu F, et al. Ammonia volatilization and nitrogen utilization efficiency in response to urea application in rice fields of the Taihu lake region, China [J]. Pedosphere, 2007, 17(5): 639-645.
- [7] 朱兆良, 文启孝. 中国土壤氮素[M]. 南京: 江苏科学技术 出版社, 1992, 76-166.

- [8] Yamulki S, Harrison R M, Goulding K W T, et al. N<sub>2</sub>O, NO and NO<sub>2</sub> fluxes from a grassland; effect of soil pH [J]. Soil Biology and Biochemistry, 1997, 29(8); 1199-1208.
- [ 9 ] Watt S A, Wagner-Riddle C, Edwards G, et al. Evaluating a flux-gradient approach for flux and deposition velocity of nitrogen dioxide over short-grass surfaces [ J ]. Atmospheric Environment, 2004, 38(17): 2619-2626.
- [10] Zhao D W, Wang A P. Estimation of anthropogenic ammonia emission in Asia[J]. Atmospheric Environment, 1994, 28(4): 689-694.
- [11] Klimont Z, Cofala J, Schöpp W, et al. Projections of  $SO_2$ ,  $NO_x$ ,  $NH_3$  and VOC emissions in East Asia up to 2030 [J]. Water, Air, and Soil Pollution, 2001, 130(1-4); 193-198.
- [12] Yamaji K, Ohara T, Akimoto H. Regional-specific emission inventory for NH<sub>3</sub>, N<sub>2</sub>O and CH<sub>4</sub> via animal farming in South, Southeast, and East Asia[J]. Atmospheric Environment, 2004, 38(40): 7111-7121.
- [13] Yan X Y, Akimoto H, Ohara T. Estimation of nitrous oxide, nitric oxide and ammonia emissions from croplands in East, Southeast and South Asia[J]. Global Change Biology, 2003, 9 (7): 1080-1096.
- [14] Wang X P, Mauzerall D L, Hu Y T, et al. A high-resolution emission inventory for eastern China in 2000 and three scenarios for 2020[J]. Atmospheric Environment, 2005, 39(32): 5917-5933.
- [15] 国务院第二次全国农业普查领导小组办公室,中华人民共和国国家统计局.中国第二次全国农业普查资料综合提要[M].北京:中国统计出版社,2008.88-90.
- [16] Fan X H, Song Y S, Lin D X, et al. Ammonia volatilization losses and <sup>15</sup>N balance from urea applied to rice on a paddy soil [J]. Journal of Environmental Sciences, 2006, 18(2): 299-303.
- [17] 龚巍巍, 张宜升, 何凌燕, 等. 菜地氨挥发损失及影响因素原位研究[J]. 环境科学, 2011, **32**(2): 345-350.
- [18] Zhang Y S, Luan S J, Chen L L, et al. Estimating the

- volatilization of ammonia from synthetic nitrogenous fertilizers used in China[J]. Journal of Environmental Management, 2011, 92(3): 480-493.
- [19] Yienger J J, Levy H. Empirical model of global soil-biogenic NO<sub>x</sub> emissions[J]. Journal of Geophysical Research, 1995, 100 (D6): 11447-11464.
- [20] 谢旻,王体健,张美根,等.土壤氮氧化物排放及其对中国 地区对流层光化学特性影响的数值模拟研究[J].土壤学 报,2005,42(6);948-956.
- [21] 卢昌艾, 胡万里, 孔令明, 等. 滇池流域集约化菜田 NO 与  $NO_2$  排放的研究[J]. 植物营养与肥料学报, 2008, **14**(5): 900-906.
- [22] Zhang Y H, Hu M, Zhong L J, et al. Regional integrated experiments on air quality over Pearl River Delta 2004 (PRIDE-PRD2004): Overview[J]. Atmospheric Environment, 2008, 42 (25): 6157-6173.
- [23] 广东省统计局,国家统计局广东调查总队.广东统计年鉴2011[M].北京:中国统计出版社,2011.
- [24] 深圳市气象局. 2011 年深圳市气候公报[R]. 深圳: 深圳市 气象局, 2012.
- [25] 张玉铭, 胡春胜, 董文旭. 华北太行山前平原农田氨挥发损失[J]. 植物营养与肥料学报, 2005, **11**(3): 417-419.

- [26] 苏芳, 丁新泉, 高志岭, 等. 华北平原冬小麦-夏玉米轮作体 系氮肥的氨挥发[J]. 中国环境科学, 2007, **27**(3): 409-413.
- [27] 李慧琳, 韩勇, 蔡祖聪. 运用 Jayaweera-Mikkelsen 模型对太 湖地区水稻田稻季氨挥发的模拟[J]. 环境科学, 2008, **29** (4): 1045-1052.
- [28] 黄彬香, 苏芳, 丁新泉, 等. 田间土壤氨挥发的原位测定——风洞法[J]. 土壤, 2006, **38**(6): 712-716.
- [29] Stohl A, Williams E, Wotawa G, et al. A European inventory of soil nitric oxide emission and the effect of these emissions on the photochemical formation of ozone[J]. Atmospheric Environment, 1996, 30(22): 3741-3755.
- [30] Fang S X, Mu Y J. Air/surface exchange of nitric oxide between two typical vegetable lands and the atmosphere in the Yangtze Delta, China[J]. Atmospheric Environment, 2006, 40 (33): 6329-6337.
- [31] 郑循华, 王明星, 王跃思, 等. 华东稻麦轮作生态系统冬小麦田 NO 排放观测研究[J]. 应用生态学报, 2000, **11**(4): 577-581.
- [32] 曹金留, 田光明, 任立涛, 等. 江苏南部地区稻麦两熟土壤中尿素的氨挥发损失[J]. 南京农业大学学报, 2000, **23** (4): 51-54.

# **HUANJING KEXUE**

Environmental Science (monthly)

Vol. 33 No. 11 Nov. 15, 2012

### **CONTENTS**

Characteristics of Atmospheric NO <sub>2</sub> in the Beijing-Tianjin-Hebei Region and the Yangtze River Delta Analyzed by Satellite and Gr	round Observations ··· WANG Ying, LI Ling-jun, LIU Yang (3685)
Variation Analysis of Background Atmospheric Pollutants in North China During the Summer of 2008 to 2011	0, 0, ,
Characteristics of Atmospheric Pollutants in Cangzhou	
Chemical Characteristics and Sources of Trace Metals in Precipitation Collected from a Typical Industrial City in Northern China	
BTX Monitoring Nearby Main Road Traffic in Guangzhou	
Dynamic Road Vehicle Emission Inventory Simulation Study Based on Real Time Traffic Information	
Emission Characteristics of a Diesel Car Fueled with Coal Based Fischer-Tropsch (F-T) Diesel and Fossil Diesel Blends	
Spatial Variations of Biogenic Elements in Coastal Wetland Sediments of the Jiulong River Estuary	
Spatio-Temporal Distribution of TN and TP in Water and Evaluation of Eutrophic State of Lake Nansi	
Impact on Nitrogen and Phosphorous Export of Wetlands in Tianmu Lake Watershed	
Nitrogen and Phosphorus Composition in Urban Runoff from the New Development Area in Beijing	
Distribution and Sources of Arsenic in Yangzonghai Lake, China  Occurrence of Fecal Indicator Bacteria in Urban Surface Water; A Case Study in Southern China	
Vertical Migration of Algal Cells in the Daning River Bay of the Three Gorges Reservoir	
Construct of Yangtze-Huai River Rural Areas Ecological Drainage System and Its Retention Effect on Pollutants	
Water Treatment Efficiency of Constructed Wetland Plant-Bed/Ditch Systems WA	
Effect of the Subsurface Constructed Wetland Evolution into Free Surface Flow Constructed Wetland on the Removal of Organic M	
Effect of the Substitute Constituted we change by substitution into Free Surface From Constituted we change on the Reinoval of Organic in	WEI Ze-iun XIE Jian-ning HIJANG Yu-ming (3812)
Treatment Characteristics of Saline Domestic Wastewater by Constructed Wetland	GAO Feng. YANG Zhao-hui, LI Chen, et al. (3820)
Degradation of β-Naphthol by Catalytic Wet Air Oxidation	
Degradation of 2,4-Dichlorophenol in Aqueous Solution by ZVI/EDDS/Air System	
Study on Photocatalytic Degradation of 1,2,3-Trichlorobenzene Using the Microwaved MWNTs/TiO <sub>2</sub> Composite	
Mechanism of Cr(VI) Removal from Aqueous Solution Using Biochar Promoted by Humic Acid	
Research on the Treatment of Wastewater Containing PVA by Ozonation-Activated Sludge Process	XING Xiao-qiong, HUANG Cheng-lan, LIU Min, et al. (3854)
Effects of Composite Substrates on the Phosphorus Removal in Granule-based EBPR System and Its Optimization Experiment	
Research of Input Water Ratio's Impact on the Quality of Effluent Water from Hydrolysis Reactor	
Evolution of Leachate Quantity and Quality in the Anaerobic-semiaerobic Bioreactor Landfill	
National Survey of Urban Sewage Reuse in China	
Sorption and Desorption of 17α-Ethinyl Estradiol and 4-n-Nonylphenol in Soil	
Soil Organic Carbon Mineralization of Black Locust Forest in the Deep Soil Layer of the Hilly Region of the Loess Plateau, China	MA Xin-xin, XU Ming-xiang, YANG Kai (3893)
Effects of Soil Crusts on Surface Hydrology in the Semiarid Loess Hilly Area	
Environmental Factors on Distribution of Polycyclic Aromatic Hydrocarbons in Soils from Dashiwei Karst Giant Doline (Tiankeng)	VONC Vieng chang OLShi hua HANC 7hang chang et al. (2005)
Investigation on Mechanism of Pyrite Oxidation in Acidic Solutions	KONG Alang-sneng, Qi Shi-nua, JiANG Zhong-eneng, et al. (3903)
Monitoring of Water and Salt Transport in Silt and Sandy Soil During the Leaching Process	
Simulation on Remediation of Benzene Contaminated Groundwater by Air Sparging	
Detecting the Cytotoxicities of Five Bisphenol A Analogues to the MCF-7 Human Breast Carcinoma Cell Line Through Different E	ndpoints
Detecting the dylonalistics of the population of the first population of the populat	········ ZHANG Shuai-shuai LIU Yan LIU Shu-shen et al. (3935)
Response of Copepod Community Characteristics to Environmental Factors in the Backshore Wetland of Expo Garden, Shanghai	
Isolation, Identification and Characterization of Halotolerant Petroleum-degrading Bacteria	
Growth Kinetics and Phenol Degradation of Highly Efficient Phenol-degrading Ochrobactrum sp. CH10	CHEN Xiao-hua, WEI Gang, LIU Si-yuan, et al. (3956)
Isolation of Aerobic Degrading Strains for TBBPA and the Properties of Biodegradation	
Influences of Long-term Application of Organic and Inorganic Fertilizers on the Composition and Abundance of nirS-type Denitrifie	ers in Black Soil ·····
Characteristics and Influencing Factors of Trichloroethylene Adsorption in Different Soil Types	····· HE Long, QIU Zhao-fu, LÜ Shu-guang, et al. (3976)
Degradation of Carbendazim in Paddy Soil and the Influencing Factors	
Effects of Sulphur Compounds on the Volatile Characteristics of Heavy Metals in Fly Ash from the MSW and Sewage Sludge Co-co	
Temperature	
Low-temperature Thermal Treatment of Dioxin in Medical Waste Fly Ash Under Unert Atmosphere	
Hourly Measurement on Aerosol NH <sub>3</sub> and Gas NO <sub>x</sub> Emission in the Rice Field	
Implementation of an Electronic Nose for Rapid Detection of Volatile Chloralkane and Chloroalkene	
Pilot Study on PAHs of the Atmosphere Around the Refuse Incineration Plant Based on the Technology of Passive Sampling	
Spatial Distribution and Pollution Source Identification of Agricultural Non-Point Source Pollution in Fujiang Watershed  Difference of P Content in Different Area Substrate of Constructed Wetland	
Selective Detection of Viable Pathogenic Bacteria in Water Using Reverse Transcription Quantitative PCR	
Formation of Disinfection By-products; Temperature Effect and Kinetic Modeling	
A Novel Quantitative Approach to Study Dynamic Anaerobic Process at Micro Scale	
Leaves of Platanus orientalis as the Carbon Source for Denitrification	
Isolation, Charcaterization of an Anthracene Degrading Bacterium Martelella sp. AD-3 and Cloning of Dioxygenase Gene	
,	

## 《环境科学》第6届编辑委员会

主 编:欧阳自远

副主编:赵景柱 郝吉明 田 刚

编 委: (按姓氏笔画排序)

万国江 王华聪 王凯军 王绪绪 田 刚 田 静 史培军

朱永官 刘志培 汤鸿霄 陈吉宁 孟 伟 周宗灿 林金明

欧阳自远 赵景柱 姜 林 郝郑平 郝吉明 聂永丰 黄 霞

黄耀 鲍强潘纲潘涛魏复盛

# 环维种草

#### (HUANJING KEXUE)

(月刊 1976年8月创刊) 2012年11月15日 33卷 第11期

#### ENVIRONMENTAL SCIENCE

(Monthly Started in 1976)

Vol. 33 No. 11 Nov. 15, 2012

主	管	中国科学院	Superintended	bv	Chinese Academy of Sciences
			•		•
主	办	中国科学院生态环境研究中心	Sponsored	by	Research Center for Eco-Environmental Sciences, Chinese
协	办	(以参加先后为序)			Academy of Sciences
		北京市环境保护科学研究院	Co-Sponsored	by	Beijing Municipal Research Institute of Environmental
		清华大学环境学院			Protection
主	编	欧阳自远			School of Environment, Tsinghua University
_			Editor-in -Chief		OUYANG Zi-yuan
编	辑	《环境科学》编辑委员会	Edited	by	The Editorial Board of Environmental Science (HUANJING
		北京市 2871 信箱(海淀区双清路	Burea	25	KEXUE)
		18号,邮政编码:100085)			P. O. Box 2871, Beijing 100085, China
		电话:010-62941102,010-62849343			, ,
		传真:010-62849343			Tel:010-62941102,010-62849343; Fax:010-62849343
		E-mail; hjkx@ rcees. ac. cn			E-mail: hjkx@ reees. ac. cn
		http://www.hjkx.ac.en			http://www.hjkx.ac.cn
出	版	<b>斜望出版社</b>	Published	by	Science Press
щ	/UX	北京东黄城根北街 16 号			16 Donghuangchenggen North Street,
		邮政编码:100717			Beijing 100717, China
印刷装	: <del>1</del> T	北京北林印刷厂	Printed	by	Beijing Bei Lin Printing House
发	行		Distributed	by	Science Press
Ø.	1 J		21511154104	27	Tel:010-64017032
		电话:010-64017032			·
·		E-mail:journal@ mail. sciencep. com			E-mail:journal@mail.sciencep.com
订购	处	全国各地邮电局	Domestic		All Local Post Offices in China
国外总统	兌行	中国国际图书贸易总公司	Foreign		China International Book Trading Corporation (Guoji
		(北京 399 信箱)			Shudian), P. O. Box 399, Beijing 100044, China

中国标准刊号:  $\frac{ISSN}{CN} = \frac{0250-3301}{11-1895/X}$ 

国内邮发代号: 2-821

国内定价:70.00元

国外发行代号: M 205

国内外公开发行